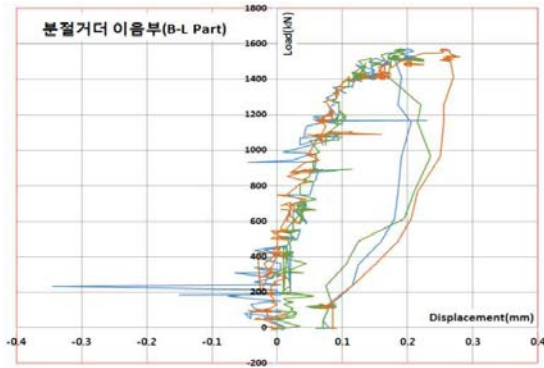


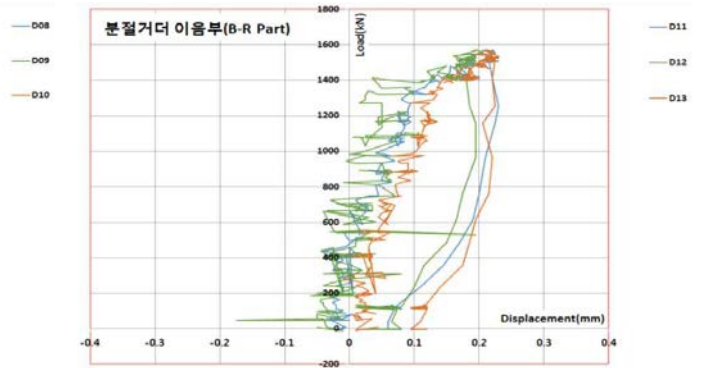
나. B part

(1) LVDT 변위계 (6EA)

(가) 거더 세그먼트 접합부(D08~D13)



[그림 3.6.30] 거더 세그먼트 접합부(B-L Part, D08~D10)

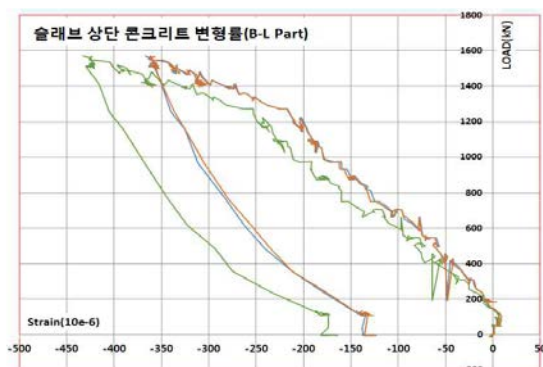


[그림 3.6.31] 거더 세그먼트 접합부(B-R Part, D11~D13)

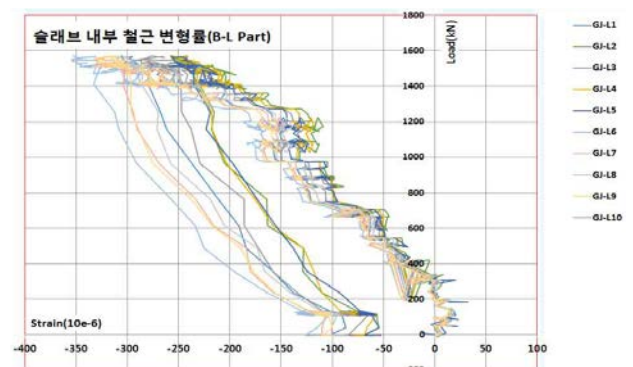
실험체 실험체의 재하 된 하중과 분절 거더 이음부에 발생하는 균열의 폭을 [그림 3.6.30]와 [그림 3.6.31]으로 나타내었다. 재하 되는 하중이 증가할수록, 거더 세그먼트 접합면에 발생하는 균열의 폭도 비례적으로 증가하는 추세를 보였다. 하지만, 실험체에 재하 된 최대하중 1570kN에서도 분절거더 이음부의 균열의 폭은 약 0.3mm 미만으로 발생하였다. 즉, 매우 작은 크기의 균열이 발생하였으며, 최대하중이 재하 된 실험체의 분절거더는 하나의 구조물로 거동한 것으로 판단되며 본 실험체 실험체의 분절거더 간 이음부 설계 기술은 매우 안전하다고 판단된다.

(2) Strain Gauge (Steel : 20EA, Concrete : 6EA)

(가) 슬래브 내부 철근 및 슬래브 상단 콘크리트 변형률



[그림 3.6.32] 슬래브 상단 콘크리트 변형률(B-L Part, Con-L1~Con-L3)



[그림 3.6.33] 슬래브 내부 철근 변형률(B-L Part, GJ-L1~GJ-L10)